

تأثیر روش‌های مختلف نوردهی (فوری، تأخیری ۵ و ۱۰ دقیقه) بر استحکام باند Push-out پست گلاس فایبر به نواحی مختلف عاج کanal ریشه

دکتر علی اسکندریزاده^۱- دکتر شهرام فرزین ابراهیمی^۲- دکتر نیلوفر شادمان^{۳+}- دکتر سعید رحمانی^۳

- ۱- دانشیار گروه آموزشی ترمیمی و زیبایی، دانشکده دندانپزشکی، دانشگاه علوم پزشکی و خدمات بهداشتی، درمانی کرمان، کرمان، ایران؛ عضو مرکز تحقیقات بیماری‌های دهان و دندان، دانشکده دندانپزشکی، دانشگاه علوم پزشکی و خدمات بهداشتی، درمانی کرمان، کرمان، ایران
- ۲- استادیار گروه آموزشی ترمیمی و زیبایی، دانشکده دندانپزشکی، دانشگاه علوم پزشکی و خدمات بهداشتی، درمانی کرمان، کرمان، ایران؛ عضو مرکز تحقیقات بیماری‌های دهان و دندان، دانشکده دندانپزشکی، دانشگاه علوم پزشکی و خدمات بهداشتی، درمانی کرمان، کرمان، ایران
- ۳- متخصص دندانپزشکی ترمیمی و زیبایی

Effect of different light curing methods on the push-out bond strength of glass fiber post to different root canal regions

Ali Eskandarizadeh¹, Shahram Farzin Ebrahimi², Niloofer Shadman^{2†}, Saeed Rahmani³

1- Associate Professor, Oral Medicine Research Center, School of Dentistry, Kerman University of Medical Sciences, Kerman, Iran; Department of Operative Dentistry, School of Dentistry, Kerman University of Medical Sciences, Kerman, Iran

2[†]- Assistant Professor, Oral Medicine Research Center, School of Dentistry, Kerman University of Medical Sciences, Kerman, Iran; Department of Operative Dentistry, School of Dentistry, Kerman University of Medical Sciences, Kerman, Iran (niloo_shad@yahoo.com)

3- Specialist in Operative Dentistry

Background and Aims: Slow polymerization rate in early stage of light curing process leads to higher monomers movement and entering in polymer network that cause higher mechanical properties. The aim of this study was to evaluate the effect of light activation methodes (immediate, 5 and 10 minutes delay) on the push-out bond strength of cemented fiber posts in different regions of root canal with two types of resin cements.

Materials and Methods: In sixty extracted human single canal, the teeth were decoronated from cement enamel junction and after root canal therapy, FRC postec plus were cemented with two resin cements, Duolink and Variolink 2, in three curing methods; immediate, 5 and 10 minutes of delay. After storing in a dark place for 24 hours, they were cut into three sections: coronal, middle and apical. The push-out bond strength test was performed using a universal testing machine. The failure modes were observed using a stereomicroscope. Data were analyzed using ANOVA and Tukey post hoc test ($P<0.05$).

Results: In Duolink, immediate light curing had significantly higher bond strength than that of two delayed methods ($P>0.05$). In immediate light curing method, regardless of root region, Duolink had higher push-out bond strength than that of Variolink 2 ($P=0.02$). In all subgroups, there were reductions in the bond strengths from coronal to apical. Mixed failure at the cement-fiber post interface was predominant in all groups.

Conclusion: 5 and 10 minutes delay caused reduction in the push-out bond strength for Variolink 2 but did not have significant effect for Duolink resin cement.

Key Words: Dual cure, Resin cement, Root canal

Journal of Dental Medicine-Tehran University of Medical Sciences 2016;29(1):9-17

+ مؤلف مسؤول: نشانی: کرمان- بلوار جمهوری اسلامی- انتهای خیابان شفا- دانشکده دندانپزشکی کرمان- گروه آموزشی ترمیمی و زیبایی
تلفن: ۰۱۸۰۷۱ نشانی الکترونیک: niloo_shad@yahoo.com

چکیده

زمینه و هدف: پلیمریزاسیون آهسته‌تر در مراحل ابتدایی تابش نور به کامپوزیت سبب جا به جایی و وارد شدن بیشتر مونومرها در شبکه پلیمری و خواص مکانیکی مطلوب‌تر می‌گردد. هدف از این مطالعه بررسی تأثیر روش‌های تابش نور فوری، تأخیری ۵ و ۱۰ دقیقه در دو نوع سمان رزینی دوال کیور بر استحکام باند Push-out یک نوع فایبرپست در مناطق مختلف کanal ریشه بود.

روش بررسی: در ۶۰ دندان کشیده شده تک کanal انسان پس از برش از محل اتصال تاج و ریشه و درمان ریشه، فایبرپست plus FRC postec توسط دو سمان رزینی Variolink2 و Duolink به سه روش نوردهی فوری و بعد از ۵ و ۱۰ دقیقه چسبانده شد و بعد از ۲۴ ساعت نگهداری در محیط تاریک، به سه قطعه کرونالی، میانی و اپیکالی برش خورده و تست Universal testing Push-out در دستگاه ANOVA با توجه به عناوون سطح معنی‌داری درنظر گرفته شد ($P < 0.05$).

یافته‌ها: در سمان Duolink استحکام باند نوردهی فوری به طور معنی‌داری بالاتر از دو روش تأخیری بود. در روش فوری استحکام باند Duolink ۲ Variolink به طور معنی‌داری بالاتر بود ($P = 0.02$). در روش تأخیری ۵ و ۱۰ دقیقه میان دو نوع سمان تفاوت معنی‌داری مشاهده نشد ($P > 0.05$). در همه زیر گروه‌ها از کرونال به اپیکال کاهش در استحکام باند مشاهده شد و بیشترین شکست، از نوع مخلوط در حد فاصل سمان - فایبر پست بود.

نتیجه‌گیری: تأخیر ۵ و ۱۰ دقیقه‌ای سبب کاهش استحکام باند در Duolink گردید ولی در ۲ Variolink اثری نداشت.

کلید واژه‌ها: سمان رزینی، دوال کیور، کanal ریشه

وصول: ۹۴/۱۰/۰۹ اصلاح نهایی: ۱۸/۰۳/۹۵ تأیید چاپ: ۱۹/۰۳/۹۵

مقدمه

کارایی کلینیکی کافی در سمان‌های رزینی است. فرآیند پلیمریزاسیون

رزین‌ها نیازمند شدت نور کافی و طول موج مناسب به منظور فعل کردن آغازگر نوری است (۱). کامپوزیت‌های رایج ترکیباتی پیچیده هستند که عموماً شامل دو نوع مونومر یا بیشتر هستند که هرگز به یک میزان واکنش نمی‌دهند. با آغاز پلیمریزاسیون، مقدار کمی از مونومرها به مصرف رسیده‌اند و سیستم هنوز سیال است و امکان تحرک مونومرها وجود دارد ولی با رسیدن درجه پلیمریزاسیون به ۱۰ تا ۲۰٪ شبكه‌های پلیمری تا حدی گسترش یافته و نوعی ژل تشکیل می‌دهند که فراتر از حد ژل، انقباض حین پلیمریزاسیون موجب ایجاد استرین در شبکه و ناحیه اتصال با سیستم‌های چسبنده می‌گردد. جهت غلبه بر این مشکل روش‌های مختلف نوردهی ابداع گردید (۲).

یکی از روش‌های نوردهی، نوردهی تأخیری (Delay light curing) است. بدینهی است که هرچه سرعت پلیمریزاسیون در مراحل ابتدایی (چند ثانیه ابتدای نوردهی) آهسته‌تر باشد امکان جا به جا شدن مونومرها و وارد شدن آن‌ها در شبکه پلیمری و از سویی دیگر، امکان واکنش بیشتر بین initiator و accelerator بیشتر می‌گردد که می‌توان پلیمریزاسیون بهتر سمان رزینی و خواص مکانیکی مطلوب‌تری را برای آن انتظار داشت، این مسئله به ویژه در انتهای کanal ریشه و دندان، جایی که نوردهی مناسبی وجود ندارد مطلوب‌تر است (۳). با توجه به تنوع سمان‌های

در شرایطی که به علت درمان اندودنتیک و پوسیدگی‌ها میزان زیادی از ساختار تاجی دندان از دست رفته باشد و نیاز به افزایش گیر کور وجود داشته باشد، استفاده از پست‌ها کاربرد می‌یابد. در کanal ریشه دندان که به میزان زیادی تضعیف گشته و یا زیبایی از نظر اهمیت در صدر قرار دارد فایبر پست‌های همنگ دندان با سمان‌های رزینی مورد استفاده قرار می‌گیرند (۴).

فایبر پست‌ها استحکام کششی بالایی دارند، امکان آماده‌سازی محافظه کارانه‌تر کanal ریشه را فراهم می‌آورند، دچار کروزن نمی‌شوند و به تقویت ساختار باقی‌مانده دندان کمک می‌کنند. روش‌ها و موادی که بر پایه باندینگ با ساختمان عاجی ریشه دندان متکی هستند، این امکان را فراهم می‌کنند که بازسازی و جایگزینی بافت‌های عاجی از دست رفته به روش محافظه کارانه‌ای انجام شود (۵).

اما ویژگی‌های عاج داخل کanal با عاج تاجی متفاوت است و در نتیجه شکل گیری لایه هیبرید مشکل است. در حقیقت هرچه به سمت اپیکال حرکت کنیم برقراری پیوند با عاج دیواره کanal مشکل‌تر می‌گردد (۶). هم‌چنین به دلیل دشواری انتقال نور به قسمت‌های میانی و اپیکالی کanal دندان، پلیمریزاسیون سمان‌های رزینی دارای واکنش نوری با مشکل مواجه است. پلیمریزاسیون مناسب یک فاکتور اساسی برای رسیدن به خواص مکانیکی مطلوب، سازگاری زیستی مناسب و

ابتدا تاج دندان‌ها از قسمت اتصال تاج و ریشه (CEJ) عمود بر محور طولی دندان به کمک دیسک الماسی (KG Sorensen, São Paulo, Brazil) با سرعت بالا و خنک کننده آب قطع شد. سپس یک K-file (Maillefer, Dentsply, Switzerland #10) وارد کanal شده، به طوری که فایل از ناحیه اپیکال فورامن مشاهده شد و یک میلی‌متر از طول آن کم کرده و به این ترتیب طول کارکرد برای هر نمونه تعیین شد. دندان‌ها به روش استپ بک به کمک فایل K-type (Dentsply maillefer, Switzerland) تا شماره ۳۰ فایل شدند. میان استفاده از فایل‌ها کanal با یک میلی‌لیتر محلول هیپوکلریت سدیم ۵/۲۵٪ شستشو داده شد. سپس با گیتس گیلدن Flaring (Dentsply maillefer, Switzerland) شماره ۷۰ شکل‌دهی انجام شد و با استفاده از سیلر AH26 گوتاپرکا (Dentsply maillefer, Switzerland) و گوتاپرکا (Ariadent, Iran) به روش تراکم جانبی پر شدند و مسدودسازی ناحیه کرونالی با کمک یک ماده ترمیمی موقت (Coltosol F, Coltene whaledent, Swiss) انجام شد. قابل ذکر است که کلیه مراحل کاری توسط یک نفر (دستیار سال آخر رشته دندانپزشکی ترمیمی) و تحت نظر استاد راهنما انجام گردید. بعد از نگهداری ریشه‌ها در آب ۳۷ درجه سانتی گراد در داخل انکوباتور (Incubator 6520, Behdad, Iran) به مدت ۲۴ ساعت، با استفاده از گیتس گیلدن شماره ۲ و ۳ بدون گشادسازی فضای کanal، ۹ میلی‌متر از گوتای داخل کanal برداشته شد. سپس فضای پست FRC postec plus توسط دریل شماره ۳ مربوط به آماده گردید. قابل ذکر است که پس از هر پنج مورد تهیه فضای پست، دریل تعویض می‌گردد. مواد مورد استفاده در این مطالعه در جدول ۱ آورده شده‌اند.

در همه گروه‌ها از پست‌های گلاس فایبری ترانسلوستنت FRC postec plus شماره ۳ استفاده شد. آماده‌سازی سطح پست طبق دستور کارخانه سازنده انجام شد. به سطح پست به مدت ۶۰ ثانیه ژل اسید فسفریک ۳٪ زده شد و بعد از آن کاملاً با آب شسته و خشک شد. سپس به سطح پست به مدت ۶۰ ثانیه سایلن S Monobond (Ivoclar Vivadent, Schaan, Liechtenstein) زده شد و توسط

رزینی در ویسکوزیته، رنگ، سایز فیلرهای، آغازگر شیمیایی و همچنین DC (Degree of Conversion) متفاوت، به نظر می‌رسد روش نوردهی تأثیرات متفاوتی بر روی قدرت باند سمان‌ها به ساختارهای دندانی داشته باشد (۲). به طور کلی در زمینه میزان پلیمریزاسیون سمان رزینی در داخل کanal، ایده‌آل آن است که عبور نور از خلال پست بتواند سبب ایجاد درجه پلیمریزاسیون کافی در ۱/۳ C-factor نامطلوب در ناحیه کanal ریشه استرس ناشی از انقباض پلیمریزاسیون، افزایش یابد (۴).

استرس مدلولوس مناسب سمان‌های رزینی، در حد فاصل ترمیم و ساختمان دندانی می‌تواند استرس‌های ناشی از انقباض بینایین را کاهش دهد و سبب انتقال استرس‌ها از سمان‌ها به ساختمان دندان شود. یعنی لایه سمان می‌تواند به عنوان یک ناحیه بافری عمل کند که به علت خواص مکانیکی مطلوبش، سبب توزیع استرس بین پست و دیواره کanal در طی فانکشن در داخل دهان شود. سمان رزینی دارای حد تناسب و ارتقاییت بالا مطلوب است چون مقاومت به تغییر شکل پلاستیک سبب مقاومت به شکل‌گیری درز در لبه‌ها و جا به جایی می‌شود (۶).

هدف از این مطالعه بررسی تأثیر دو روش نوردهی فوری و تأخیری (۵ دقیقه و ۱۰ دقیقه) روی استحکام باند Push-out دو نوع سمان رزینی دوال‌کیور در نواحی مختلف کanal دندان بود و فرضیه ما این است که استحکام باند Push-out بین سمان‌های مختلف و روش‌های مختلف نوردهی تفاوتی ندارد.

روش بررسی

در این تحقیق تجربی آزمایشگاهی ۶۰ دندان تک کanal (سانترال و کانین ماقریلا) انسان با طول ریشه 15 ± 1 میلی‌متر که به تازگی بنا به دلایل درمانی کشیده شده بودند انتخاب شدند. دندان‌ها زیر استریومیکروسکوپ ارزیابی شدند تا فاقد هرگونه شکستگی و ترک در ریشه باشند. همچنین فاقد درمان ریشه، خمیدگی، پوسیدگی یا هر گونه مشکل دیگری در ناحیه ریشه بودند. دندان‌ها تا قبل از کار در محلول ۰/۵٪ کلرامین در دمای ۳۷ درجه به مدت یک هفته نگهداری شدند.

جدول ۱- لیست مواد کاربردی در مطالعه و روش کار

گروه	آماده‌سازی سطح عاج	نوع ادھزیو و نحوه اعمال آن	نحوه آماده کردن سمان رزینی
Duolink (Dual Cure Resin cement) Bisco, IL, USA	۱۵ ثانیه اج عاج با اسید فسفریک٪۳۲ (Uni-Etch, Bisco) شستشو، خشک کردن با گلوله پنبه‌ای	All bond 3 (Etch and rinse (Dual cure) Bisco, IL, USA مخlot کردن مقادیر مساوی از دو خمیر بیس و کاتالیست به مدت ۱۰-۱۵ ثانیه تا حصول یک خمیر یک دست و وارد کردن آن در کanal با لتوولو و سپس نشاندن پست در کanal و فشار به مدت ۱۰-۵ ثانیه	مخlot کردن مقادیر مساوی از دو خمیر بیس و کاتالیست به مدت ۱۰-۱۵ ثانیه تا حصول یک خمیر یک دست و وارد کردن آن در کanal با لتوولو و سپس نشاندن پست در کanal و فشار به مدت ۱۰-۵ ثانیه
Variolink 2 (Dual cure) Ivoclar vivadent, Schaan, Liechtenstein	۱۵ ثانیه اج عاج با اسید فسفریک٪۳۲ (Uni-Etch, Bisco) شستشو، خشک کردن با گلوله پنبه‌ای	Excite F DSC (Etch and Rinse (Dual Cure) Ivoclar Vivadent, Schaan, Liechtenstein ۱۵ ثانیه اج عاج با اسید فسفریک، شستشو، خشک کردن با گوتای کاغذی، اعمال ادھزیو با اپلیکیتور به داخل کanal و حذف اضافات، ۵ ثانیه پوار، نیازی به تابش نور نیست.	مخlot کردن مقادیر مساوی از دو خمیر بیس و کاتالیست به مدت ۱۰-۱۵ ثانیه تا حصول یک خمیر یک دست و وارد کردن آن در کanal با لتوولو و سپس نشاندن پست در کanal و فشار به مدت ۱۰-۵ ثانیه

لایت از سطوح طرفی دندان به پست تابیده نشود. در گروه‌هایی که نوردهی با تأخیر انجام می‌گردید نمونه‌ها پس از سمان کردن پست در جعبه تاریک قرار داده شدند. تمام نمونه‌ها پس از نوردهی به مدت ۲۴ ساعت در جعبه تاریک قرار داده شدند و سپس داخل مولد توسط رزین آکریل شفاف مانت گردیدند.

برای کاهش تأثیر حرارت ناشی از واکنش اگزوترمیک آکریل حین پلیمریزاسیون مولد، اندکی پس از قراردهی آکریل، مولد در آب سرد غوطه‌ور گردید. به کمک تیغه الماسی دستگاه برش دندانی (Vafai Co., Tehran, Iran) به همراه خنک کننده آب که عمود بر محور طولی دندان و پست بود، از هر ریشه سه قطعه کرونالی، میانی و اپیکالی (هر کدام به ضخامت $1/10 \pm 0.07$ میلی‌متر) برش خورده تهیه شد. در حین هر برش تقریباً $60-70$ میلی‌متر عاج به وسیله تیغه از دست می‌رفت.

ضخامت دقیق قطعات (h) و قطر پست در قسمت کرونال و اپیکال هر قطعه به وسیله کولیس دیجیتالی (Mitutoyo CD15, Mitutoyo Co., Kawasaki, Japan) که دقت آن 0.01 میلی‌متر بود اندازه‌گیری انجام می‌شد تا کل سطح باندینگ (S) بر حسب mm^2 برای هر قطعه به دست آید. r1 شاعع پست در قسمت کرونال، r2 شاعع پست در قسمت اپیکال و h طول کرونوپیکال پست در نمونه می‌باشد (شکل ۱). قبل از انجام تست Push-out نمونه‌ها جهت ارزیابی نقايس احتمالی به وجود آمده حین تراش، زیر استریومیکروسکوپ کنترل شدند.

پوار هوا کاملاً خشک شد و تا زمان سمان کردن روی اسلب شیشه‌ای تمیزی قرار داده شد. ریشه‌ها به طور کاملاً تصادفی براساس نوع سمان رزینی مورد استفاده به ۲ گروه ۳۰ تایی، و براساس نحوه نوردهی هم هر گروه به ۳ زیرگروه ۱۰ تایی به شرح زیر تقسیم شدند.

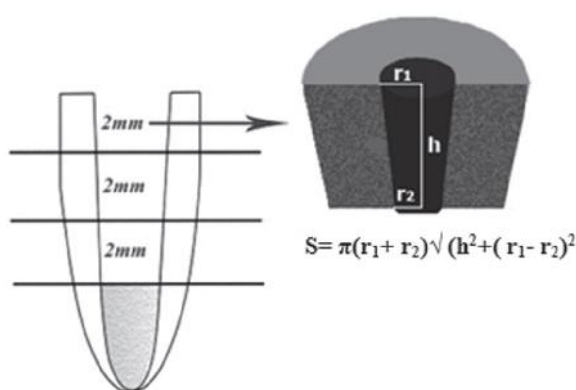
در گروه سمان رزینی دوالکیور 2 (Variolink 2, Germany) پس از استفاده از ادھزیو (Excite F DSC, Germany) داخل کanal سمان کردن به شرح زیر انجام شد: زیر گروه ۱، بلا فاصله پس از سمان کردن پست، ۴۰ ثانیه نوردهی انجام شد. زیر گروه ۲، ۵ دقیقه پس از سمان کردن پست، ۴۰ ثانیه نوردهی انجام شد. زیر گروه ۳، ۱۰ دقیقه پس از سمان کردن پست، ۴۰ ثانیه نوردهی انجام شد.

در گروه سمان رزینی دوالکیور (Duolink 3, USA) داخل کanal و ۲۰ ثانیه تابش نور، سمان کردن به شرح زیر انجام شد. زیر گروه ۴، بلا فاصله پس از سمان کردن پست، ۴۰ ثانیه نوردهی انجام شد. زیر گروه ۵، ۵ دقیقه پس از سمان کردن پست، ۴۰ ثانیه نوردهی انجام شد. زیر گروه ۶، ۱۰ دقیقه پس از سمان کردن پست، ۴۰ ثانیه نوردهی انجام شد. زیر گروه ۷، ۲۰ دقیقه پس از سمان کردن پست، ۴۰ ثانیه نوردهی انجام شد. زیر گروه ۸، ۴۰ دقیقه پس از سمان کردن که دقت آن 0.01 میلی‌متر بود اندازه‌گیری انجام شد. زیر گروه ۹، ۶۰ دقیقه پس از سمان کردن پست، ۴۰ ثانیه نوردهی انجام شد. زیر گروه ۱۰، ۷۰ دقیقه پس از سمان کردن پست، ۴۰ ثانیه نوردهی انجام شد. زیر گروه ۱۱، ۸۰ دقیقه پس از سمان کردن پست، ۴۰ ثانیه نوردهی انجام شد. زیر گروه ۱۲، ۹۰ دقیقه پس از سمان کردن پست، ۴۰ ثانیه نوردهی انجام شد. زیر گروه ۱۳، ۱۰۰ دقیقه پس از سمان کردن پست، ۴۰ ثانیه نوردهی انجام شد. زیر گروه ۱۴، ۱۱۰ دقیقه پس از سمان کردن پست، ۴۰ ثانیه نوردهی انجام شد. زیر گروه ۱۵، ۱۲۰ دقیقه پس از سمان کردن پست، ۴۰ ثانیه نوردهی انجام شد. زیر گروه ۱۶، ۱۳۰ دقیقه پس از سمان کردن پست، ۴۰ ثانیه نوردهی انجام شد. زیر گروه ۱۷، ۱۴۰ دقیقه پس از سمان کردن پست، ۴۰ ثانیه نوردهی انجام شد. زیر گروه ۱۸، ۱۵۰ دقیقه پس از سمان کردن پست، ۴۰ ثانیه نوردهی انجام شد. زیر گروه ۱۹، ۱۶۰ دقیقه پس از سمان کردن پست، ۴۰ ثانیه نوردهی انجام شد. زیر گروه ۲۰، ۱۷۰ دقیقه پس از سمان کردن پست، ۴۰ ثانیه نوردهی انجام شد. زیر گروه ۲۱، ۱۸۰ دقیقه پس از سمان کردن پست، ۴۰ ثانیه نوردهی انجام شد. زیر گروه ۲۲، ۱۹۰ دقیقه پس از سمان کردن پست، ۴۰ ثانیه نوردهی انجام شد. زیر گروه ۲۳، ۲۰۰ دقیقه پس از سمان کردن پست، ۴۰ ثانیه نوردهی انجام شد. زیر گروه ۲۴، ۲۱۰ دقیقه پس از سمان کردن پست، ۴۰ ثانیه نوردهی انجام شد. زیر گروه ۲۵، ۲۲۰ دقیقه پس از سمان کردن پست، ۴۰ ثانیه نوردهی انجام شد. زیر گروه ۲۶، ۲۳۰ دقیقه پس از سمان کردن پست، ۴۰ ثانیه نوردهی انجام شد. زیر گروه ۲۷، ۲۴۰ دقیقه پس از سمان کردن پست، ۴۰ ثانیه نوردهی انجام شد. زیر گروه ۲۸، ۲۵۰ دقیقه پس از سمان کردن پست، ۴۰ ثانیه نوردهی انجام شد. زیر گروه ۲۹، ۲۶۰ دقیقه پس از سمان کردن پست، ۴۰ ثانیه نوردهی انجام شد. زیر گروه ۳۰، ۲۷۰ دقیقه پس از سمان کردن پست، ۴۰ ثانیه نوردهی انجام شد.

سپس استحکام باند هر نمونه به مگاپاسکال (MPa) طبق فرمول محاسبه گردید. طریقه محاسبه سطح باند در شکل ۱ آورده شده است.

Peakload در ناحیه شکست (نیوتن)

mm^2 سطح باند



بعد از انجام آزمایش Push-out همه قطعات به صورت Blind (Olympus, DP12, Hamburg, Germany) با بزرگنمایی ۴۰ برابر برای ارزیابی و تعیین شکست ارزیابی شدن. اشکال شکست به ۵ گروه زیر دسته‌بندی شدند: ۱- شکست ادھریو میان پست و سمان رزینی (سمانی روی پست دیده نمی‌شود). ۲- شکست مخلوط (بین ۰-۱۰۰ درصد سطح پست را پوشانده است). ۳- شکست ادھریو میان عاج و سمان رزینی (سطح پست کاملاً به وسیله سمان رزینی پوشیده شده است) ۴- شکست Cohesive در عاج-۵- شکست Three-way ANOVA و جهت تحلیل داده‌ها از آزمون آماری Minitab 15 و جهت مقایسه میانگین استحکام بین گروه‌ها و مقایسه دو به دو هم از آزمون Tukey استفاده شد. $P < 0.05$ به عنوان سطح معنی‌داری در نظر گرفته شد.

یافته‌ها

میانگین استحکام باند Push-out و انحراف معیار در زیرگروه‌های مختلف در جداول ۲ و ۳ ارایه گردیده است.

شکل ۱- تصویر شماتیک از تهیه نمونه‌ها و فرمول اندازه‌گیری ناحیه باندینگ در نمونه‌های کرونال، میانی و آپیکال

جهت انجام تست Push-out از دستگاه Universal testing (Testometric M350-10CT, England) با سرعت ۰/۵ mm/min با استفاده از اهرم وارد کننده نیرو (Plunger) با قطر ۹/۰ میلی‌متر استفاده شد، به گونه‌ای که هنگام وارد آمدن نیرو پلانگر با سطح پست در قسمت آپیکال قطعه تماس داشته باشد و در هنگام وارد آمدن نیرو قطعه عاجی روی یک قطعه فلزی پشتیبان که دارای سوراخی به قطر ۳ میلی‌متر بود، به طوری قرار گرفت که سطح پست در وسط سوراخ قرار گرفت.

براساس نمودار Force-deflection ترسیم شده توسط دستگاه، به عنوان نیرویی که در آن نقطه شکست در اتصال و Force peak بیرون زدن پست از فضای پست اتفاق می‌افتد اندازه‌گیری می‌شود و

جدول ۲- میانگین استحکام باند و انحراف معیار (SD) به تفکیک روش نوردهی و نواحی مختلف ریشه در سمان رزینی Duolink

P-value	S.D	میانگین استحکام باند (مگاپاسکال)	ناحیه ریشه	گروه
: کرونال- میانی ۰/۰۰۰۲	±۱/۷۷	۱۷/۰۷	کرونال	تابش نور فوری
: کرونال- آپیکال ۰/۰۰۰۱	±۵/۶	۹/۲۲	میانی	
: میانی- آپیکال ۱/۰۰۰	±۳/۲۶	۸/۷	آپیکال	
: کرونال- میانی ۰/۰۴۷	±۲/۱۷	۱۲/۱	کرونال	تابش نور با ۵ دقیقه تأخیر
: کرونال- آپیکال ۰/۰۰۲	±۰/۸۵	۶/۷	میانی	
: میانی- آپیکال ۱/۰۰۰	±۱/۶	۵/۸	آپیکال	
: کرونال- میانی ۰/۴۰۲	±۴/۱۹	۱۱/۴۸	کرونال	تابش نور با ۱۰ دقیقه تأخیر
: کرونال- آپیکال ۰/۰۲۸۰	±۱/۵۶	۷/۵۴	میانی	
: میانی- آپیکال ۱/۰۰۰	±۳/۴۳	۶/۸۵	آپیکال	

جدول ۳- میانگین استحکام باند و انحراف معیار (SD) به تفکیک روش نوردهی و نواحی مختلف ریشه در سمان رزینی 2

P-value	S.D	میانگین استحکام باند (مگاپاسکال)	ناحیه ریشه	گروه
۰/۰۰۰۱: کرونال- میانی	±۵/۷۴	۱۶/۲۴	کرونال	تابش نور فوری
۰/۰۰۰۱: کرونال- آپیکال	±۳/۷	۷/۸۳	میانی	
۰/۰۸۶: میانی- آپیکال	±۰/۵۱	۲/۶۹	آپیکال	
۰/۰۰۰۱: کرونال- میانی	±۶/۷۱	۱۷/۱۵	کرونال	تابش نور با ۵ دقیقه تأخیر
۰/۰۰۰۱: کرونال- آپیکال	±۲/۱۴	۸/۱۱	میانی	
۰/۰۱۸۲: میانی- آپیکال	±۱/۱	۴/۴۸	آپیکال	
۰/۰۰۲۲: کرونال- میانی	±۴/۹۵	۱۳/۴۴	کرونال	تابش نور با ۵ دقیقه تأخیر
۰/۰۰۰۱: کرونال- آپیکال	±۳/۱۶	۷/۴۸	میانی	
۰/۰۰۲۶: میانی- آپیکال	±۰/۲۵	۲/۲۷	آپیکال	

میان نوع سمان رزینی و ناحیه ریشه هم ارتباط معنی‌داری وجود داشت ($P<0.001$). یعنی میانگین استحکام باند در سه ناحیه ریشه به نوع سمان رزینی بستگی داشت. اما میان سمان رزینی، روش نوردهی و ناحیه ریشه، ارتباط معنی‌داری وجود نداشت ($P=0.937$). به طور کلی طرح شکست غالب دو سمان در ناحیه کرونال ریشه و در هر سه روش نوردهی، از نوع ۳ بود. همچنین شایع‌ترین طرح شکست دو سمان در ناحیه میانی و آپیکالی ریشه و در هر سه روش نوردهی، از نوع ۲ بود.

بحث و نتیجه‌گیری

به تأخیر انداختن نوردهی ممکن است ساختار پلیمری را اصلاح کند و پلیمریزه شدن را گستردگر کند. همین‌طور بر روی تمامیت ترمیم هم تأثیر بگذارد. حتی مطرح شده است که فعال نمودن فوری برخی از مواد با بیس رزینی DC نهایی را کاهش می‌دهد. نوردهی تأخیری شیوه‌ای است که فرصت شکل‌گیری شبکه یکپارچه ساختار شبکه را ایجاد می‌کند (۷). این مسئله پذیرفته شده است که ترکیب شیمیایی و فرمولاسیون خاص هر نوع کامپوزیتی در میزان پلیمریزاسیون آن و متعاقباً استحکام باند آن مؤثر است. نه تنها تفاوت در نوع و مقدار رزین، بلکه تفاوت در ترکیب دی‌کتون و کاتالیست آمینی هم سبب تفاوت در پلیمریزاسیون می‌گردد (۸). طبق نتایج حاصل از این مطالعه فرضیه ارایه شده تا حدی به اثبات رسید و بین

به طور کلی میان سمان رزینی، روش نوردهی و ناحیه ریشه، ارتباط معنی‌داری وجود نداشت ($P=0.937$).

در روش نوردهی فوری بین دو سمان تفاوت معنی‌دار بود ($P=0.02$) و استحکام باند Duolink بالاتر بود ولی در روش‌های تأخیری ۵ و ۱۰ دقیقه بین دو سمان تفاوت معنی‌داری وجود نداشت و به ترتیب $P=0.88$ و $P=0.96$ بود.

در سمان Duolink استحکام باند فوری به طور معنی‌داری بالاتر از ۵ دقیقه ($P=0.002$) و ۱۰ دقیقه ($P=0.009$) بود ولی بین استحکام باند ۵ و ۱۰ دقیقه ($P=1.00$) تفاوت معنی‌داری وجود نداشت. به عبارت دیگر تأخیر سبب کاهش استحکام باند گردید. ولی در سمان Variolink 2 بین سه روش تفاوت معنی‌داری مشاهده نشد و مقادیر P-value بین روش فوری و تأخیری ۵ دقیقه ($P=0.99$) و بین روش تأخیری ۵ و ۱۰ دقیقه ($P=0.30$) و بین روش فوری و ۱۰ دقیقه ($P=0.89$) به دست آمد.

بنابر آنالیز واریانس مربوط به نتایج استحکام باند، بین روش نوردهی و ناحیه ریشه، ارتباط معنی‌داری وجود نداشت ($P=0.178$) به عبارت دیگر میانگین استحکام باند در روش‌های مختلف نوردهی به ناحیه مورد بررسی (کرونال، میدل و آپیکال) ارتباطی نداشت. از سوی دیگر، بین روش نوردهی و نوع سمان رزینی ارتباط معنی‌داری وجود داشت ($P<0.001$).

بالاتر است (۸). در دو حالت نوردهی فوری و تأخیری ۵ دقیقه به این نتیجه رسیدند که DC از ناحیه کروناł به اپیکال کاهش می‌یابد و DC در دو روش فوری و تأخیری تفاوت معنی‌داری ندارد.

در این مطالعه سمان رزینی 2 Variolink در ناحیه کروناł نسبت به نواحی میانی و اپیکالی استحکام باند بالاتری را نشان داد اما اختلاف در قسمت میانی و اپیکال معنی‌دار نبود. این در تایید نتایج مطالعات Cerutti و همکاران (۱۱) در سال ۲۰۱۱ و Kim و همکاران (۱۲) در سال ۲۰۰۹ می‌باشد. همچنین Goracci و همکاران (۱۳) در مطالعه خود در سال ۲۰۰۴، استحکام باند بالاتری را در نواحی کروناłی در استفاده از ۲ Excite، Variolink ثبت کردند. در مطالعه Ebrahimi و همکاران (۲) در بررسی استحکام باند Push-out سمان 2 Variolink در ناحیه ۱ میلی‌متری از منبع نور از ۶۸٪ به ۴۷٪ در ناحیه ۵ میلی‌متری سطح کاهش یافت. در فاصله ۶ تا ۹ میلی‌متری از سطح تفاوت معنی‌دار نبود و به صورت سینوسی DC بین ۴۲ تا ۴۴٪ دچار کاهش و افزایش می‌شد.

DC در مطالعه Vinoth Kumar و همکاران (۱۴) در 2 Variolink در ناحیه کروناł از دو ناحیه دیگر و قسمت میانی هم از اپیکال به طور معنی‌داری بالاتر بود. همچنین استحکام باند پایین‌تر در Two-step Etch-and-rinse و Potesta (Dual-cure) طبق مطالعات (چه در نوع Light-cure و چه Dual-cure) مطالعات Ferrari و همکاران (۱۵) در سال ۲۰۰۸ و Akgungor و Akkayan (۱۶) در سال ۲۰۰۶ می‌تواند به خاطر عدم شستشوی اسید فسفریک به طور مؤثر در انتهای کانال و عدم کنترل رطوبت مناسب باشد که باعث کاهش باند در این باندینگ‌ها در یک سوم اپیکالی می‌شود که تأییدی بر نتایج به دست آمده در مطالعه حاضر است.

برای استفاده از باندینگ در داخل کانال از میکروبراش Microbrush X, USA (Ferrari) استفاده شد. در مطالعه‌ای که Ferrari و همکاران (۱۷) در سال ۲۰۰۲ انجام دادند به این نتیجه رسید که میکروبراش باعث ایجاد Resin tag های یکنواخت‌تری در قسمت‌های مختلف کانال خصوصاً در اپیکال می‌شود. در این مطالعه استحکام باند

روش‌های مختلف نوردهی در گروه Variolink تفاوتی وجود نداشت. به دلیل نبود مطالعات مشابه بیشتر تلاش شد تا در این بخش از نتایج مطالعات مربوط به تأثیرات تأخیر در نوردهی سمان‌های Rzینی دوالکیور بر روی Degree of conversion و Polymerization shrinkage برای Rate of polymerization درک و تجزیه و تحلیل بهتر نتایج بهره گرفته شود.

در مطالعه Lee و همکاران (۹) این نتیجه به دست آمد که استرس پلیمریزاسیون سمان Duolink بیشتر از ۲ Variolink می‌باشد. مطالعه مذکور می‌تواند توجیه کننده نتیجه این مطالعه (استحکام باند بالاتر سمان 2 Variolink دارای ۶۱٪ وزنی فیلر و ۲ Variolink دارای ۷۱٪ وزنی فیلر می‌باشد (۸). به نظر می‌رسد 2 Variolink به علت میزان فیلر بالاتر، استرس پلیمریزاسیون کمتری را به نواحی باند شده منتقل می‌کند و استحکام باند Push-out بالاتر را دارد.

در مطالعه حاضر در سمان Duolink میانگین استحکام باند در ناحیه کروناł به طور معنی‌داری از ناحیه میانی و اپیکال بالاتر بود ولی میان نواحی میانی و اپیکال این اختلاف معنی‌دار نبود. Shadman و همکاران (۴) در سال ۲۰۱۲ در مطالعه‌شان در مقایسه DC دو سمان Rzینی دوالکیور در فواصل ۴ تا ۸ میلی‌متری از نوک دستگاه لایتکیور به این نتیجه رسیدند که DC از ناحیه کروناł به اپیکال کاهش می‌یابد که به علت کاهش میزان شدت نور در نواحی عمقدتر و کاهش میزان فعال‌سازی اجزای حساس به نور در سمان‌های دوالکیور می‌باشد و در حقیقت جهت پلیمریزاسیون سمان‌های دوالکیور وجود حداقل میزانی از شدت نور در نواحی عمقدتر حتمی می‌باشد. همچنین این مسئله می‌تواند این طور توجیه شود که تراکم و قطر توبول‌های عاجی از کروناł به اپیکال کاهش می‌یابد و شاخه‌های جانبی توبول‌های عاجی کروناł به اپیکال کاهش می‌یابد و شاخه‌های جانبی توبول‌های عاجی (Lateral branches) تنها در یک سوم کروناł و میانی ایجاد می‌شوند (۳). همچنین در مطالعه Ferrari و همکاران (۷) این نتیجه حاصل شد که فشار میکروبراش در ناحیه اپیکال حداقل است که منجر به کاهش نفوذ ادھزیو به عاج می‌شود. تشکیل و مورفولوژی رزین تگ‌ها از نظر طول، تراکم و شاخه‌های جانبی در سرویکال و ناحیه میانی یکنواخت تر و بیشتر است (۹،۱۰). همچنین احتمال تشکیل Viod در سرویکال

دو سمان مربوط باشد. در این مطالعه و در تأخیر ۵ دقیقه‌ای استحکام باند در ناحیه اپیکال نسبت به کرونال پایین‌تر بود اما میان دو ناحیه میانی و اپیکال تفاوت معنی‌داری وجود نداشت (مانند روش فوری). در این مطالعه تفاوت میانگین استحکام باند در نوردهی با تأخیر ۱۰ دقیقه در هر دو سمان معنی‌دار نبود. دلیل این امر شاید به DC سمان‌ها دقیقه دهم واکنش سلف‌کیور مربوط است که در مطالعه Arrias و همکاران (۲۱) در سال ۲۰۰۹ و مطالعات Faria-e-Silva و همکاران (۱۹,۲۲) برای سمان‌های استفاده شده در این مطالعه بین ۴۰ تا ۵۵ درصد گزارش شد. تأخیر احتمالاً موجب عدم تأثیرگذاری آغازگرهای نوری در شبکه ژل پلیمر رزینی می‌گردد. به عبارت دیگر از جا به جایی مناسب آغازگرهای نوری در شبکه پلیمری اولیه جهت افزایش میزان پلیمریزاسیون ممانعت به عمل می‌آورد.

بیشترین الگوی شکست مشاهده شده از نوع Mix بود و در رتبه بعد شکست ادھزیو در حد فاصل فایبر پست و سمان شیوع و شکست Cohesive (در عاج یا در فایبر پست) نیز کمترین نوع شکست را تشکیل می‌داد. در مطالعه Ebrahimi و همکاران (۲) نیز که از FRC postec plus و سمان ۲ Variolink به مناطق مختلف ریشه استفاده کرده بودند نیز بیشترین Push-out نوع الگوی شکست نوع Mix بود. Bitter و همکاران (۲۳) در مطالعه خود در سال ۲۰۰۹ به این نتیجه رسیدند که الگوی شکست به طور معنی‌داری تحت تاثیر نوع سمان قرار دارد. شکست Cohesive در فایبر پست به طور خاص در قسمت کرونال ریشه احتمالاً درمواردی که متوسط استحکام باند در ناحیه بیش از ۱۷ MPa باشد اتفاق می‌افتد.

با توجه به نتایج حاصل از این مطالعه برای سمان کردن فایبر پست‌های عبور دهنده نور با کمک سمان ۲ Duolink روش تأخیری ۵ دقیقه موجب کاهش بهبود میانگین استحکام باند Push-out می‌گردد و در مرور سمان ۲ Variolink نیز تأخیر هیچ اثری در بهبود استحکام باند ندارد. با توجه با این که تست Micro push out به علت کمتر بودن ضخامت قطعات برش، پخش بهتری از استرس‌ها و ارزیابی بهتری از استحکام باند در نواحی مختلف مختلط ریشه را مشخص می‌کند پیشنهاد می‌شود در تحقیقات بعدی از این تست برای بررسی استحکام باند استفاده شود.

بین دو روش نوردهی فوری و تأخیری ۵ دقیقه‌ای سمان ۲ Variolink تفاوت معنی‌داری وجود نداشت. تا پیش از تابش نور در دقیقه ۵ واکنش پلیمریزاسیون در تمام سمان‌های دوال‌کیور به طریق سلف‌کیور جلو می‌رود (۴). براساس مطالعه Lee و همکاران (۱۸) در سال ۲۰۰۸ میزان شیرینکیج Duolink و ۲ Variolink بدین شکل می‌باشد: میزان شیرینکیج Variolink ۲ (3.50%) > Variolink ۲ (4.59%) > Duolink (102.6 s) در محدوده ۵ دقیقه ابتدایی واکنش اتفاق می‌افتد که اثرات تضعیف باند را بیشتر می‌کند و استرس پلیمریزاسیون بالاتری را در ۵ دقیقه اول به ناحیه باند وارد می‌کند. زمان پیک شیرینکیج پلیمریزاسیون آن‌ها به ثانیه نیز به این صورت بود: Variolink 2 (997.1 s) > Duolink (102.6 s).

در کامپوزیت‌های لایت‌کیور با شروع پلیمریزاسیون کامپوزیت حالت سیال دارد و امکان تحرک مونومرها وجود دارد ولی با رسیدن درجه پلیمریزاسیون بالاتر از ۲۰٪ Stiffness شبکه پلیمری افزایش یافته و مکان جا به جایی منومرها کاهش می‌یابد. انقباض حین پلیمریزاسیون موجب ایجاد استرین در شبکه و ناحیه اتصال با سیستم‌های چسبنده می‌گردد (۵). ولی در کامپوزیت‌های دوال‌کیور درصورت تأخیر در پلیمریزاسیون، میزان استرس ناشی از انقباض پلیمریزاسیون کاهش می‌یابد. به نظر می‌رسد پلیمریزاسیون قسمت سلف‌کیور سمان رزینی سبب ایجاد حالت Solid در مجموعه و کاهش تحرک Initiator و Accelerator و Variolink ۲ Duolink می‌گردد.

مطالعه Faria-e-Silva و همکاران (۱۹) در سال ۲۰۱۱ مقایسه روش‌های سلف‌کیور، نوردهی فوری و با تأخیر ۵ دقیقه به این نتیجه رسیدند که در سمان ۲ Panavia F2 روش تأخیری نوردهی بدون به خطر انداختن میزان پلیمریزاسیون، میزان استرس ناشی از انقباض پلیمریزاسیون را کاهش می‌دهد و در این مطالعه حداکثر میزان پلیمریزاسیون، مربوط به نوردهی فوری بود. همچنین در روش تأخیری الاستیک مدلولوس نسبت به حالت فوری کمتر بود. همین‌طور در Mطالعه Spinell و همکاران (۲۰) در سال ۲۰۰۹ در سمان ۲ Nexus نسبت به ۲ Variolink در ۵ دقیقه ابتدایی واکنش سلف‌کیور استرس ناشی از انقباض پلیمریزاسیون بیشتری را نشان داد. این امر ممکن است به میزان فیلر بیشتر در ۲ Variolink و ماتریکس رزینی متفاوت

حمایت‌های مالی دانشگاه علوم پزشکی کرمان قدردانی می‌گردد.
همچنین از زحمات مشاور آماری جناب آقای دکتر جهانی و مرکز تحقیقات بیماری‌های دهان و دندان نیز تشکر می‌گردد.

تشکر و قدردانی

این مقاله نتیجه طرح تحقیقاتی مصوب دانشگاه علوم پزشکی کرمان و پایان‌نامه تخصصی به شماره ۴۸ ت می‌باشد. بدین‌وسیله از

منابع:

- 1- Torabi K, Fattahi F. Fracture resistance of endodontically treated teeth restored by different FRC posts: An in vitro study. Indian J Dent Res. 2009;20(3):282-7.
- 2- Ebrahimi SF, Shadman N, Baradarani Nasery E, Sadeghian F. Effect of polymerization mode of two adhesive systems on push-out bond strength of fiber post to different regions of root canal dentin. Dent Res J. 2014;11(1):32-8.
- 3- Ferrari M, Mannocci F, Vichi A, Cagidiaco MC, Mjor IA. Bonding to root canal: structural characteristics of the substrate. Am J Dent. 2000;13(5):255-60.
- 4- Shadman N, Atai M, Ghavam M, Kermanshah H, Ebrahimi SF. Parameters affecting degree of conversion of dual-cure resin cements in the root canal: ftir analysis. J Can Dent Assoc. 2012;78:c53.
- 5- Roberson T, Heymann HO, Swift Jr EJ. Sturdevant's art and science of operative dentistry: Elsevier Health Sciences;2006.
- 6- Li ZC, White SN. Mechanical properties of dental luting cements. J Prosthet Dent. 1999; 81(5):597-609.
- 7- Ferrari M, Vichi A, Grandini S. Efficacy of different adhesive techniques on bonding to root canal walls: an SEM investigation. Dent Mater. 2001;17(5):422-9.
- 8- Bouillaguet S, Troesch S, Wataha JC, Krejci I, Meyer JM, Pashly DH. Microtensile bond strength between adhesive cements and root canal dentin. Dent Mater. 2003;19(3):199-205.
- 9- Lee IB, An W, Chang J, Um CM. Influence of ceramic thickness and curing mode on the polymerization shrinkage kinetics of dual-cured resin cements. Dent Mater. 2008;24(8):1141-7.
- 10- Vichi A, Grandini S, Davidson CL, Ferrari M. An SEM evaluation of several adhesive systems used for bonding fiber posts under clinical conditions. Dent Mater. 2002;18(7):495-502.
- 11- Cerutti F, Aquaviva PA, Gaglini M, Ferrari M, Mangani F, Depero LE, et al. Degree of conversion of dual-cure resins light-cured through glass-fiber posts. Am J Dent. 2011;24(1):8-12.
- 12- Kim YK, Kim SK, Kim KH, Kwon TY. Degree of conversion of dual-cured resin cement light-cured through three fibre posts within human root canals: an ex vivo study. Int Endod J. 2009;42(8):667-74.
- 13- Goracci C, Tavares AU, Fabianelli A, Monticelli F, Raffaelli O, Cardoso PC, et al. The adhesion between fiber posts and root canal walls: comparison between microtensile and push-out bond strength measurements. Eur J Oral Sci. 2004;112(4):353-61.
- 14- Vinoth Kumar TS, Shyamala PV, Kavitha S, Laksminarayanan L. In vitro evaluation of degree of conversion of various luting resins at different levels of post space using FTIR spectroscopy. Endod. 2008;20:37-43.
- 15- Potesta FL, Broome JC, O'Neal SJ, Givan DA, Ramp LC. The effect of etching technique on the retention of adhesively cemented prefabricated dowels. J Prosthod. 2008;17(6):445-50.
- 16- Akgungor G, Akkayan B. Influence of dentin bonding agents and polymerization modes on the bond strength between translucent fiber posts and three dentin regions within a post space. J Prosthet Dent. 2006;95(5):368-78.
- 17- Ferrari M, Vichi A, Grandini S, Geppi S. Influence of microbrush on efficacy of bonding into root canals. Am J Dent. 2002;15(4):227-31.
- 18- Lee IB, An W, Chang J, Um CM. Influence of ceramic thickness and curing mode on the polymerization shrinkage kinetics of dual-cured resin cements. Dent Mater. 2008;24(8):1141-7.
- 19- Faria-e-Silva A, Boaro L, Braga R, Piva E, Arias V, Martins L. Effect of immediate or delayed light activation on curing kinetics and shrinkage stress of dual-cure resin cements. Oper Dent. 2011;36(2):196-204.
- 20- Spinell T, Schedle A, Watts DC. Polymerization shrinkage kinetics of dimethacrylate resin-cements. Dent Mater. 2009;25(8):1058-66.
- 21- Arrais CA, Giannini M, Rueggeberg FA. Kinetic analysis of monomer conversion in auto- and dual-polymerizing modes of commercial resin luting cements. J Prosthet Dent. 2009;101(2):128-36.
- 22- Faria-e-Silva AL, Moraes RR, Ogliari FA, Piva E, Martins LR, Panavia F: the role of the primer. J Oral Sci. 2009;51(2):255-9.
- 23- Bitter K, Paris S, Pfuerstner C, Neumann K, Kielbassa AM. Morphological and bond strength evaluation of different resin cements to root dentin. Eur J Oral Sci. 2009;117(3):326-33.